

$\leq v \leq 2,5$  практически не изменяется при  $100 \text{ Гц} \leq f_v \leq 2 \text{ кГц}$  (что соответствует диапазону  $5,91 \leq 2\pi f_v L/U \leq 118$ ). Это подтверждает достоверность представленных в [4] и в данной работе результатов и справедливость сделанных на их основе выводов.

Поступила 30 IX 1982

#### ЛИТЕРАТУРА

1. Кузнецов В. Р., Сабельников В. А. Перемежаемость и распределения вероятностей скорости в турбулентных потоках. — Усп. механики, 1981, т. 4, № 3.
2. Кузнецов В. Р., Сабельников В. А. Перемежаемость и распределения вероятностей концентрации в турбулентных потоках. — Усп. механики, 1981, т. 4, № 2.
3. Монин А. С., Яглом А. М. Статистическая гидромеханика. Ч. II. М.: Наука, 1967.
4. Кузнецов В. Р., Расщупкин В. И. Распределение вероятностей и условное среднене в турбулентных потоках. — Изв. АН СССР. МЖГ, 1977, № 6.
5. Бендат Д., Пирсол А. Измерение и анализ случайных процессов. М.: Мир, 1974.
6. Таунсенд А. А. Структура турбулентного потока с поперечным сдвигом. М.: ИЛ, 1959.
7. Hedley T. B., Keffer J. F. Turbulent/non-turbulent decisions in an intermittent flow. — J. Fluid Mech., 1974, vol. 64, pt 4.
8. La Rue J. C. Detection of the turbulent-nonturbulent interface in slightly heated turbulent shear flows. — Phys. Fluids, 1974, vol. 17, N 8.
9. Тихонов В. И. Выборы случайных процессов. М.: Наука, 1970.
10. Freymuth P., Uberoi M. S. Structure of temperature fluctuations in the turbulent wake behind a heated cylinder. — Phys. Fluids, 1971, vol. 14, N 12.
11. Kistler A. L., Vrebalovich T. Grid turbulence of large Reynolds numbers. — J. Fluid Mech., 1966, vol. 26, pt 1.
12. Бэтчелор Д. К. Теория однородной турбулентности. М.: ИЛ, 1955.
13. Thomas R. M. Conditional sampling and other measurements in a plane turbulent wake. — J. Fluid Mech., 1973, vol. 57, pt 3.
14. Кузнецов В. Р. О плотности вероятности скоростей в двух точках однородного изотропного турбулентного потока. — ПММ, 1967, т. 31, вып. 6.

УДК 532.526.011.56

### ГИПЕРЗВУКОВОЕ ТЕЧЕНИЕ ВЯЗКОГО ГАЗА НА ПОВЕРХНОСТИ ЗАТУПЛЕННОГО КОНУСА ПРИ СИЛЬНОМ ВДУВЕ В ОКРЕСТНОСТИ ЗАТУПЛЕНИЯ

Ю. Н. Ермак

(Москва)

**Введение.** Одним из эффективных способов теплозащиты гиперзвукового летательного аппарата является использование сильного вдува. Исследованию проблем газовой динамики, возникающих при этом, посвящен целый ряд работ (например, [1—4]). В этих работах найдены асимптотические решения уравнений Навье — Стокса в окрестности затупления при условии, что  $M_\infty \gg 1$ ,  $(\rho_\infty/\rho_1) \ll 1$ ,  $Re_1 \gg 1$ ,  $(v_w/u_\infty) \gg 1/\sqrt{Re_1}$ , где  $M_\infty$  — число Маха набегающего потока,  $u_\infty$  — скорость набегающего потока,  $\rho_\infty$  — плотность набегающего потока,  $\rho_1$  — плотность газа за ударной волной,  $Re_1$  — число Рейнольдса, рассчитанное по скорости и плотности набегающего потока, радиусу затупления и коэффициенту вязкости при температуре торможения,  $v_w$  — скорость вдува на поверхности тела. Кроме того, в [4] представлена классификация режимов течения, возможных при обтекании затупленных тел пространственным гиперзвуковым потоком вязкого газа. Течение газа предполагается ламинарным.

В данной работе исследуется задача о поглощении газа, вдуваемого в окрестности малого затупления, пограничным слоем на боковой поверхности конуса. Рассматривается ламинарное обтекание затупленного конуса гиперзвуковым потоком вязкого газа. В окрестности затупления конуса газ вдувается таким образом, что пограничный слой отстает от поверхности и становится слоем смешения, толщина которого много меньше толщины вдуваемого газа. В свою очередь, толщина слоя вдува много меньше толщины ударного слоя, и течение в нем описывается уравнениями невязкого пограничного слоя. Слой вдува остается невязким на некотором расстоянии вниз по потоку и на боковой поверхности конуса, где вдув прекращен. Однако затем этот слой газа поглощается пограничным слоем на поверхности тела и слоем смешения на контактной границе с горячим газом за ударной волной.

**1. Течение в окрестности затупления.** Приведем оценки для течения в окрестности затупления (область  $O$ , фиг. 1). Пусть  $r$  — радиус затупления;  $\theta = O(1)$  — полуугол раскрытия конуса;  $\gamma, \rho_1$  — показатель адиабаты и плотность за ударной волной;  $\mu_1$  — коэффициент вязкости при температуре торможения;  $\rho_w, v_w, T_w, \gamma_w$  — плотность, скорость, температура и показатель адиабаты вдуваемого газа. Характерная величина давления в ударном слое  $p_1 \sim \rho_\infty u_\infty^2$ . Характерная величина числа Рейнольдса в ударном слое вблизи контактной границы

$$Re_1 = \rho_1 u_1 r / \mu_1 = Re_0 / \sqrt{\varepsilon},$$

где  $u_1 \sim u_\infty \sqrt{\varepsilon}$ ;  $\varepsilon = (\gamma - 1) / (\gamma + 1)$ ;  $Re_0 = \rho_\infty u_\infty r / \mu_1$ . Таким образом, толщина слоя смешения

$$\delta_1 \sim r / \sqrt{Re_1}.$$

Если использовать уравнение Бернулли и уравнение состояния, можно получить следующие оценки для плотности  $\rho_w$  и продольной составляющей скорости  $u_w$  в слое вдува:

$$(1.1) \quad \rho_w / \rho_1 \sim \varepsilon / t \varepsilon_1, \quad u_w \sim u_\infty \sqrt{t \varepsilon_1},$$

где  $\varepsilon_1 = (\gamma_w - 1) / (\gamma_w + 1)$ ;  $t = 2C p_w T_w / u_\infty^2$  — температурный фактор.

Расход газа в ударном слое в окрестности затупления

$$\psi_\infty \sim \pi r^2 \rho_\infty u_\infty.$$

Расход вдуваемого газа

$$\psi_w \sim \pi r^2 \rho_w v_w.$$

Отсюда получаем для безразмерного параметра вдува

$$g = \psi_w / \psi_\infty = (\rho_w v_w) / (\rho_\infty u_\infty).$$

Если использовать уравнение неразрывности и соотношения (1.1), можно получить следующую оценку для толщины слоя вдува:

$$\delta_b \sim r g \sqrt{t \varepsilon_1}.$$

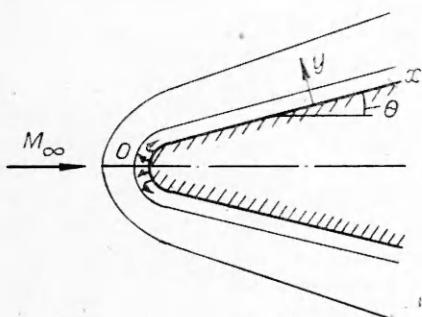
Потребуем, чтобы толщина слоя вдува  $\delta_b$  была много меньше толщины ударного слоя  $\delta \sim r \varepsilon$ :

$$(\delta_b / \delta) \sim g \sqrt{t \varepsilon_1 / \varepsilon^2} \ll 1.$$

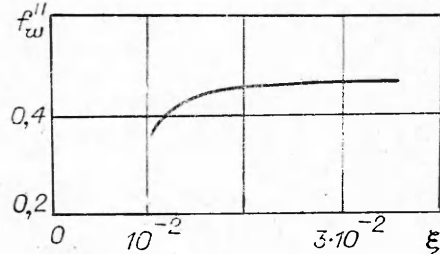
С другой стороны, потребуем, чтобы толщина слоя смешения  $\delta_1$  была много меньше толщины слоя вдува:

$$(1.2) \quad (\delta_1 / \delta_b) = 1 / (g \sqrt{t \varepsilon_1 Re_1}) \ll 1.$$

Здесь и ниже будем предполагать, что  $\varepsilon = O(1)$ ,  $\varepsilon_1 = O(1)$ ,  $t = O(1)$ . При выполнении условия (1.2) течение в слое вдува в окрестности затуп-



Фиг. 1



Фиг. 2

ления будет невязким, так как характерное число Рейнольдса в слое вдува

$$(1.3) \quad \text{Re}_w = \text{Re}_1 \left( \frac{u_1}{\mu_w} \right) \sqrt{t \frac{\varepsilon}{\varepsilon_1}} \sim \text{Re}_1$$

и отношение толщины пограничного слоя  $\delta_w$  в слое вдува (там, где прекращен вдув) к толщине слоя смешения  $\delta_1$ :

$$(1.4) \quad (\delta_w/\delta_1) \sim (t\varepsilon_1/\varepsilon)^{1/4} (\mu_w/\mu_1)^{1/2} = O(1).$$

Пусть координата  $\bar{x}$  отсчитывается вдоль поверхности затупленного конуса, координата  $\bar{y}$  отсчитывается по нормали к поверхности конуса. Введем следующие деформированные координаты и асимптотические разложения для течения в слое вдува в окрестности затупления:

$$(1.5) \quad \begin{aligned} \bar{x} &= rx, \quad \bar{y} = rg\sqrt{t\varepsilon_1}y, \\ \bar{u} &= u_\infty\sqrt{t\varepsilon_1}u + \dots, \quad \bar{v} = u_\infty g t \varepsilon_1 v + \dots, \\ \bar{p} &= \rho_\infty u_\infty^2 p + \dots, \quad \bar{\rho} = (\rho_\infty/t\varepsilon_1)\rho + \dots \end{aligned}$$

Если соотношения (1.5) подставить в уравнения Навье — Стокса и выполнить предельный переход

$$g \rightarrow 0, \quad \text{Re}_1 \rightarrow \infty, \quad M_\infty \rightarrow \infty$$

при условиях (1.2) — (1.4), можно получить следующую систему уравнений невязкого пограничного слоя, описывающую течение в слое вдува:

$$(1.6) \quad \begin{aligned} \frac{\partial(\rho ub)}{\partial x} + \frac{\partial(\rho vb)}{\partial y} &= 0, \\ \rho \left( \bar{u} \frac{\partial u}{\partial x} + \bar{v} \frac{\partial u}{\partial y} \right) &= -\frac{\partial p}{\partial x}, \quad \frac{\partial p}{\partial y} = 0, \\ u \frac{\partial}{\partial x} \left( \frac{p}{\rho^{\gamma_w}} \right) + v \frac{\partial}{\partial y} \left( \frac{p}{\rho^{\gamma_w}} \right) &= 0, \end{aligned}$$

где  $b$  — расстояние от оси симметрии конуса до его поверхности.

Границные условия для этой системы уравнений имеют вид

$$(1.7) \quad v = v(x, 0), \quad \rho = \rho(x, 0), \quad u = 0$$

при  $0 \leq x \leq x_1$ ,  $u = v = 0$  при  $x > x_1$ . Значение функции  $p(x)$  следует определить с помощью сращивания с асимптотическими разложениями для зоны смешения и для ударного слоя. Эта операция ничем не отличается от сращивания асимптотических разложений в [4].

Действительно, если использовать вышеупомянутые оценки для течения в окрестности затупления (область  $O$ ), можно ввести следующие деформированные координаты и асимптотические разложения:

$$(1.8) \quad \begin{aligned} \bar{x} &= rx_0, \quad \bar{y} = r\epsilon y_0 - \delta_b, \\ \bar{u} &= u_\infty u_0 + \dots, \quad \bar{v} = \epsilon u_\infty v_0 + \dots, \\ \bar{p} &= \rho_\infty u_\infty^2 p_0 + \dots, \quad \bar{\rho} = \epsilon^{-1} \rho_\infty \rho_0 + \dots \end{aligned}$$

После подстановки этих выражений в уравнение Навье — Стокса и выполнения предельного перехода  $M_\infty \rightarrow \infty$ ,  $\text{Re}_1 \rightarrow \infty$ ,  $\epsilon = O(1)$  получим обычные уравнения Эйлера. Внешние краевые условия для этой системы уравнений — условия Гюгонио на ударной волне, а при  $y_0 = 0$   $v_0 = 0$ . Решение этой системы уравнений обеспечивает величину  $u_0(x_0, y_0 \rightarrow 0) \sim \sqrt{\epsilon}$  и  $p_0(x_0, y_0 \rightarrow 0) \sim 1$ .

На границе между ударным слоем (область  $O$ ) и слоем вдува располагается слой смешения, толщина которого в соответствии с вышеупомянутыми оценками  $\delta_1$ . Для слоя смешения можно ввести следующие деформированные координаты и асимптотические разложения:

$$(1.9) \quad \begin{aligned} x &= rx_s, & \bar{y} &= \delta_1 y_s - \delta_b, \\ \bar{u} &= u_\infty \sqrt{\varepsilon} u_s + \dots, & \bar{v} &= \delta_1 u_\infty \sqrt{\varepsilon} v_s + \dots, \\ \bar{p} &= p_\infty u_\infty^2 p_s + \dots, & \bar{\rho} &= \varepsilon^{-1} \rho_\infty \rho_s + \dots, \\ \bar{H} &= (u_\infty^2/2) H_s + \dots, & \bar{\mu} &= \mu_1 \mu_s + \dots, \end{aligned}$$

где  $\delta_b$  — толщина слоя вдува.

Если эти выражения подставить в уравнения Навье — Стокса и выполнить предельный переход  $M_\infty \rightarrow \infty$ ,  $Re_1 \rightarrow \infty$ ,  $g \rightarrow 0$ ,  $\varepsilon = O(1)$ ,  $\varepsilon_1 = O(1)$ ,  $t = O(1)$ , то можно получить уравнения пограничного слоя для течения в зоне смешения. Краевые условия для этих уравнений найдем путем сращивания асимптотических разложений (1.8), (1.9), получаем  $u_s(x_s, y_s \rightarrow \infty) = u_0(x_0, y_0 \rightarrow 0)$ ,  $H_s(x_s, y_s \rightarrow \infty) = H_0(x_0, y_0 \rightarrow 0)$ ,  $p_s(x_s) = p_0(x_0, y_0 \rightarrow 0)$ . Сращивая асимптотические разложения (1.5), (1.9), найдем внутренние краевые условия  $u_s(x_s, y_s \rightarrow -\infty) = \sqrt{t\varepsilon_1} u(x, y \rightarrow 0)$ ,  $H_s(x_s, y_s \rightarrow -\infty) = t$ , а величина давления  $p(x) = p_0(x_0) = p_s(x_s)$ . Весь только что рассмотренный анализ лишь в незначительных деталях отличается от анализа [4] и поэтому носит конспективный характер.

Если считать, что давление  $p(x)$  задано, можно записать следующее решение уравнений (1.6):

$$(1.10) \quad (p/\rho)^{\gamma_w} = C_1(\psi), \frac{u^2}{2} + \frac{\gamma_w}{\gamma_w - 1} p^{\frac{\gamma_w - 1}{\gamma_w}} C_1^{\gamma_w}(\psi) = C_2(\psi),$$

где  $\psi$  — функция тока. Функции  $C_1(\psi)$  и  $C_2(\psi)$  можно определить с помощью граничных условий (1.7). Частный вид решения (1.10) будет получен ниже при рассмотрении течения поглощения слоя вдува пограничным слоем на боковой поверхности конуса. Очевидно, что слой вдува останется невязким и на некотором расстоянии вниз по потоку от области вдува. Затем вследствие эффекта растекания и роста толщины пограничного слоя слой вдува будет поглощен вязким течением на боковой поверхности конуса.

**2. Поглощение слоя вдува пограничным слоем на боковой поверхности конуса.** Пусть длина вдоль образующей конуса, на котором происходит поглощение слоя вдува пограничным слоем, равна  $L = Kr$ , где  $K \gg 1$ . Условие того, что газ в слое вдува полностью поглощается пограничным слоем на боковой поверхности конуса, можно записать в виде равенства расходов:

$$\pi r^2 \rho_w v_w \sim 2\pi K r \sin \theta \rho_w u_w \delta_2,$$

где  $\delta_2$  — толщина пограничного слоя на боковой поверхности конуса. Все оценки для функций течения, полученные в окрестности затупления, остаются справедливыми и на боковой поверхности конуса, так как полуугол раскрытия конуса  $\theta = O(1)$ . Отсюда следует, что  $\delta_2 \sim \delta_w \sqrt{K}$ . Таким образом, получаем параметр подобия, характеризующий режим поглощения слоя вдува пограничным слоем:

$$\Delta_g = \frac{2 \sin \theta K^{3/2}}{g \sqrt{Re_1 (\mu_1 / \mu_w) \sqrt{t\varepsilon / \varepsilon_1}}}.$$

Этот параметр представляет собой отношение толщины пограничного слоя к толщине слоя вдува на боковой поверхности конуса, когда эти величины одного порядка:  $\Delta_g = O(1)$ . Отсюда можно получить оценку для характеристики длины  $L$ , на которой происходит поглощение слоя вдува пограничным слоем и слоем смешения:

$$(2.1) \quad L \sim r \left[ \frac{g}{2 \sin \theta} \sqrt{Re_1 \left( \frac{\mu_1}{\mu_w} \right) \sqrt{\frac{t\varepsilon}{\varepsilon_1}}} \right]^{2/3}.$$

На длинах, по порядку величины меньших, чем  $L$  в формуле (2.1), но больших по порядку величины, чем  $r$ , схема течения остается прежней, как в окрестности затупления. Заметим, что давление на поверхности конуса на этих длинах и на длинах, определяемых формулой (2.1), такое же, как на остром конусе, так как влияние затупления сказывается на невязком обтекании тел вращения лишь на нескольких калибрах затупления [5].

Выберем  $l$  такое, что  $r \ll l \ll L$ , где  $L$  определяется формулой (2.1), это означает, что  $\Delta_g \rightarrow 0$ . На этих длинах внешнее невязкое течение за ударной волной соответствует обтеканию острого конуса гиперзвуковым потоком. Оценки для функций течения остаются прежними, а характерная длина  $l$ . Таким образом, вид асимптотических разложений здесь такой же, как в области  $O$  (соотношения (1.8)), только величина  $r$  заменяется на  $l$ , число Рейнольдса рассчитывается по длине  $l$ . В результате получается система уравнений Эйлера, описывающая течение за ударной волной, где хорошим гиперзвуковым приближением для давления является формула для касательного клина ( $p = \sin^2 \theta$ ).

Газ, прошедший через ударную волну в окрестности затупления, составляет на боковой поверхности конуса энтропийный слой, толщина которого  $(\delta_3/l) \sim \varepsilon K^{-2}$ ,  $K = l/r$ . Толщина слоя газа, вдуваемого в окрестности затупления, на боковой поверхности конуса  $(\delta_{B1}/l) \sim g \sqrt{t \varepsilon_1} K^{-2}$ . Таким образом, толщина энтропийного слоя много больше, чем толщина слоя вдува, и поэтому энтропийный слой не будет поглощен слоем смешения. Характерная скорость в энтропийном слое  $\sim u_\infty$ , плотность  $\sim \rho_\infty/\varepsilon$ .

Деформированные координаты и асимптотические разложения в энтропийном слое:

$$(2.2) \quad \begin{aligned} \bar{x} &= lx_3, & \bar{y} &= \delta_3 y_3 - \delta_{B1}, \\ \bar{u} &= u_\infty u_3 + \dots, & \bar{v} &= (u_\infty \delta_3) v_3 + \dots, \\ \bar{p} &= \rho_\infty u_\infty^2 p_3 + \dots, & \bar{\rho} &= (\rho_\infty/\varepsilon) \rho_3 + \dots \end{aligned}$$

Если эти выражения подставить в уравнения Навье — Стокса, при  $M_\infty \rightarrow \infty$ ,  $Re_1 \rightarrow \infty$ ,  $\Delta_g \rightarrow 0$  можно получить уравнения невязкого пограничного слоя, решение которых имеет функциональный вид (1.10). Начальные условия получим, срацивая асимптотические разложения (2.2) и (1.8), а срацивая давления в ударном слое на остром конусе, получим, что  $p_3 = \sin^2 \theta$ . Величина  $\delta_{B1}$  находится при срацивании с разложениями для слоя вдува.

Толщина слоя смешения и пограничного слоя на стенке, на длинах  $l$  имеет порядок  $\delta_l \sim \delta_1 \sqrt{K}$ ,  $K = l/r$ . Асимптотические разложения для слоя вдува имеют вид (1.9) с заменой  $r$  на  $l$  и  $\delta_1$  на  $\delta_l$ . Давление в слое вдува равно давлению в энтропийном слое, а внутренние краевые условия необходимо найти, срацивая асимптотические разложения для слоя вдува и слоя смешения.

Деформированные координаты и асимптотические разложения для слоя вдува на длинах  $l$  имеют вид

$$(2.3) \quad \begin{aligned} \bar{x} &= lx_{B1}, & \bar{y} &= \delta_{B1} y_{B1}, \\ \bar{u} &= u_\infty \sqrt{t \varepsilon_1} u_{B1} + \dots, & \bar{v} &= u_\infty \sqrt{t \varepsilon_1} \delta_{B1} v_{B1} + \dots, \\ \bar{p} &= \rho_\infty u_\infty^2 p_{B1} + \dots, & \bar{\rho} &= (\rho_\infty/t \varepsilon_1) \rho_{B1} + \dots \end{aligned}$$

После подстановки этих выражений в уравнения Навье — Стокса при  $M_\infty \rightarrow \infty$ ,  $g \rightarrow 0$ ,  $Re_1 \rightarrow \infty$ ,  $(l/r) \rightarrow \infty$  получим уравнения невязкого пограничного слоя, вид решения которых описывается соотношением (1.10). Срацивая асимптотические разложения (2.2) и (2.3), получим величину давления в слое вдува. Начальные условия для полученных уравнений можно получить, срацивая асимптотические разложения (1.5) для слоя вдува в окрестности затупления с асимптотическими разложениями (2.3).

Весь этот анализ позволяет прояснить вопрос о начальных данных для уравнений, описывающих течение поглощения слоя вдува на боковой поверхности конуса. Наконец, отметим, что асимптотические разложения (2.2) для энтропийного слоя на боковой поверхности затупленного конуса на длинах  $l$  справедливы и на длинах  $L$ , определяемых выражением (2.1), так как на этих длинах толщина энтропийного слоя много больше толщины слоя смешения.

Для описания процесса поглощения слоя вдува на боковой поверхности конуса пограничным слоем и слоем смешения введем следующие деформированные координаты и асимптотические разложения:

$$(2.4) \quad \begin{aligned} \bar{x} &= Lx_2, & \bar{y} &= \delta_2 y_2, \\ \bar{u} &= u_\infty \sqrt{t\epsilon_1} u_2 + \dots, & \bar{v} &= u_\infty \sqrt{t\epsilon_1} \delta_2 v_2 + \dots, \\ \bar{p} &= \rho_\infty u_\infty^2 p_2 + \dots, & \bar{\rho} &= (\rho_\infty / t\epsilon_1) \rho_2 + \dots, \\ \bar{H} &= (u_\infty^2 / 2) H_2 + \dots, & \bar{\mu} &= \mu_1 \mu_2 + \dots \end{aligned}$$

Если соотношения (2.4) подставить в уравнения Навье — Стокса и выполнить предельный переход  $K \rightarrow \infty$ ,  $M_\infty \rightarrow \infty$ ,  $Re_1 \rightarrow \infty$ ,  $g \rightarrow 0$ ,  $t = O(1)$ ,  $\epsilon = O(1)$ ,  $\epsilon_1 = O(1)$ ,  $\Delta_g = O(1)$ , можно получить следующую систему уравнений:

$$(2.5) \quad \begin{aligned} \frac{\partial (b_2 \Omega_2 u_2)}{\partial x_2} + \frac{\partial (b_2 \Omega_2 v_2)}{\partial y_2} &= 0, \\ \rho_2 \left( u_2 \frac{\partial u_2}{\partial x_2} + v_2 \frac{\partial u_2}{\partial y_2} \right) &= -\frac{\partial p_2}{\partial x_2} + \frac{\partial}{\partial y_2} \left( \mu_2 \frac{\partial u_2}{\partial y_2} \right), \quad \frac{\partial p_2}{\partial y_2} = 0, \\ \rho_2 \left( u_2 \frac{\partial H_2}{\partial x_2} + v_2 \frac{\partial H_2}{\partial y_2} \right) &= \frac{\partial}{\partial y_2} \left[ \frac{\mu_2}{Pr} \frac{\partial H_2}{\partial y_2} + t\epsilon_1 \mu_2 \left( 1 - \frac{1}{Pr} \right) \frac{\partial u_2^2}{\partial y_2} \right], \\ p_2 &= p_2(\bar{h}_2, \rho_2), \quad \mu_2 = \mu_2(\bar{h}_2), \end{aligned}$$

$b_2$  — расстояние от оси конуса до его поверхности.

Асимптотические разложения (2.4) и уравнения пограничного слоя (2.5) справедливы не только для слоя вдува, но и для зоны смешения, так как ее толщина имеет тот же порядок, что и толщина слоя вдува. Действительно, толщина слоя смешения на боковой поверхности конуса на длине  $L$   $\delta_f \sim L / \sqrt{Re_f}$ , где  $Re_f = Re_1 K$ , т. е.  $Re_f \sim Re_w K$ , с другой стороны, так как  $t = O(1)$ ,  $\epsilon = O(1)$ ,  $\epsilon_1 = O(1)$ , то скорости, плотности и энтальпии одного порядка.

Границные условия на поверхности конуса имеют вид

$$(2.6) \quad y_2 = 0, \quad u_2 = v_2 = 0, \quad H_2 = t.$$

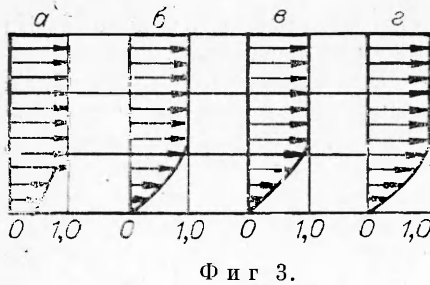
Внешние краевые условия для системы уравнений (2.5) можно получить, если срастить асимптотические разложения (2.4) с решением для невязкого обтекания острого конуса (2.1) (на длинах  $L$ ):

$$(2.7) \quad y_2 \rightarrow \infty, \quad u_2 \rightarrow \sqrt{\epsilon/(t\epsilon_1)} \cos \theta, \quad p_2 = \sin^2 \theta, \quad H_2 \rightarrow 1.$$

Наконец, необходимо записать начальные условия для системы уравнений (2.5). Эти начальные условия можно получить, если срастить асимптотические разложения (2.4) с невязким решением для обтекания боковой поверхности конуса невязким слоем вдува (2.3) и невязким внешним потоком за ударной волной (2.2), т. е. с решением на длинах  $l$  таких, что  $r \ll l \ll L$ . В результате получаем

$$(2.8) \quad \begin{aligned} u_2(0, y_2) &= u(\bar{y}_2), \\ H_2(0, y_2) &= t, \end{aligned} \quad \left. \begin{array}{l} 0 \leq y_2 \leq y_{20}, \\ y_2 > y_{20}. \end{array} \right.$$

$$\begin{aligned} u_2(0, y_2) &= \sqrt{\epsilon/(t\epsilon_1)} \cos \theta, \\ H_2(0, y_2) &= 1, \end{aligned}$$



Фиг 3.

Таким образом, краевая задача (2.5)–(2.8) отличается от обычной задачи пограничного слоя только неоднородными начальными данными (2.8).

Для примера расчета поглощения слоя вдува пограничным слоем был выбран случай: полуугол раскрытия конуса  $\theta = 45^\circ$ ,  $\gamma = 1,2$ ,  $\gamma_w = 1,4$ , температурный фактор  $t = 1$ , число Прандтля  $Pr = 1$ , за-

кон изменения вязкости по энтальпии таков, что  $\rho\mu = \text{const}$ , константа общая для обоих газов. Для определенности выберем следующий закон вдува в окрестности сферического затупления:

$$(2.9) \quad \rho(x, 0) = 1, \quad v(x, 0) = 1, \quad 0 \leq x \leq x_{10},$$

где  $\phi_0 = \pi x_{10} = 45^\circ$ .

Хорошим приближением для распределения давления на поверхности затупления является формула Ньютона  $p(x) = \cos^2 x$ . Если воспользоваться этой формулой, граничными условиями (2.9), то решение (1.10) примет вид

$$u(x, \psi) = \sqrt{\frac{2\gamma_w}{\gamma_w - 1}} \left[ (1 + \psi)^2 + (1 + \psi)^{\frac{2(\gamma_w - 1)}{\gamma_w}} p^{\frac{\gamma_w - 1}{\gamma_w}}(x) \right],$$

где  $\psi = \cos x' - 1$  — функция тока.

Пусть на боковой поверхности конуса для давления  $p_1$  справедлива формула касательного клина  $p_1 = \sin^2 \theta$ , тогда профиль скорости в слое вдува на боковой поверхности конуса имеет вид

$$u_1(x_1, \psi_1) = \sqrt{\frac{2\gamma_w}{\gamma_w - 1}} \left[ (1 + \psi_1)^2 + (1 + \psi_1)^{\frac{2(\gamma_w - 1)}{\gamma_w}} (\sin \theta)^{\frac{2(\gamma_w - 1)}{\gamma_w}} \right].$$

Если провести преобразование Дородницина — Лиза, краевая задача (2.5)–(2.8) сводится к виду

$$(2.10) \quad f''' + ff'' = 2\xi(f'f' - f'f''), \\ f(0) = f'(0) = 0, \quad f'(\infty) = 1, \\ f' = u_2/u_l, \quad u_l = \sqrt{\frac{\epsilon}{t\epsilon_1}} \cos \theta,$$

$$\xi = \int_0^{x_2} \rho_{2w} \mu_{2w} u_l b_2^2 dx_2, \quad \eta = \frac{u_l b_2}{\sqrt{2\xi}} \int_0^{y_2} \rho dy_2, \quad ( )' = \frac{\partial}{\partial \eta}, \quad ( )'' = \frac{\partial}{\partial \xi}.$$

Для решения краевой задачи (2.10) при начальных условиях (2.8) использовалась методика [6]. Результаты расчетов представлены на фиг. 2,3. На фиг. 2 приведено распределение трения на стенке, а на фиг. 3 — развитие профиля скорости вдоль образующей конуса ( $a$  —  $z$  соответствуют  $\xi = 0; 10^{-2}; 1,2 \cdot 10^{-2}; 3 \cdot 10^{-2}$ ). В масштабах  $L$  поглощение слоя вдува происходит очень быстро. В заключение следует отметить, что в общем случае процесс смешения будет сопровождаться химическими реакциями и, строго говоря, весь проведенный выше анализ справедлив лишь при числе Льюиса  $Le = 1$ .

Поступила 13 X 1982

## ЛИТЕРАТУРА

1. Комашенко А. П., Нейланд В. Я. Гиперзвуковое обтекание сферы при наличии сильного вдува через ее поверхность.— ДАН УССР, 1969, № 12.
2. Гершбейн Э. А., Тирский Г. А. Течение вязкого теплопроводного многокомпонентного газа в ударном слое в окрестности притупления при интенсивных вдувах.— В кн.: Научные труды Ин-та механики. № 1. М.: Изд-во МГУ, 1970.
3. Гершбейн Э. А. Теория гиперзвукового вязкого ударного слоя при больших числах Рейнольдса и при сильном вдуве ионородных газов.— ПММ, 1974, № 6.
4. Гершбейн Э. А. Асимптотическое исследование задачи пространственного гиперзвукового обтекания вязким газом затупленных тел с проникаемой поверхностью.— В кн.: Гиперзвуковые пространственные течения при наличии физико-химических превращений. М.: Изд-во МГУ, 1981.
5. Черный Г. Г. Течение газа с большой сверхзвуковой скоростью. М.: Физматгиз, 1959.
6. Нейланд В. Я. О решении уравнений ламинарного пограничного слоя при произвольных начальных условиях.— ПММ, 1966, т. 30, вып. 4.

УДК 532.593

## НЕУСТАНОВИВШЕЕСЯ ДВИЖЕНИЕ КРУГЛОГО ЦИЛИНДРА В ДВУХСЛОЙНОЙ ЖИДКОСТИ

Б. И. Букреев, А. В. Гусев, И. В. Стровера

(Новосибирск)

Выполнено теоретическое и экспериментальное исследование плоских внутренних волн, возникающих на поверхности раздела в двухслойной жидкости при нестационарном поступательном движении погруженного круглого цилиндра. В настоящее время теоретический анализ волнообразования при таком движении плоского тела выполнен лишь для частного случая однородной жидкости [1], а экспериментальные исследования посвящены в основном изучению стационарного движения [2, 3].

В линейной постановке рассмотрим плоскую задачу о волновых течениях, возникающих при движении в верхнем слое двухслойной жидкости диполя, момента которого меняется во времени. Предполагается, что аналогично однородной безграничной жидкости это эквивалентно движению круглого цилиндра радиуса  $R$  со скоростью  $U(t)$  (момент диполя равен  $m(t) = 2\pi R^2 U(t)$  и совпадает с направлением движения цилиндра). Жидкость предполагается невязкой и несжимаемой, состоящей из двух слоев разной плотности:  $\rho_1 (0 < y < H_1)$  и  $\rho_2 = \rho_1 (1 + \varepsilon)$ ,  $\varepsilon > 0 (-H_2 < y < 0)$ . Ось  $y$  направлена вертикально вверх, горизонтальная ось  $x$  совпадает с невозмущенной поверхностью раздела. Предполагается, что в момент времени  $t = 0$  в верхнем слое жидкости в точке  $x = 0, y = h$  начинает действовать диполь с переменным моментом  $m(t)$  ( $m(t) = 0$  при  $t \leq 0$ ) и осью, совпадающей с положительным направлением оси  $x$ , так что траектория его движения имеет вид  $x = c(t), y = h$ .

В каждом слое течение предполагается потенциальным и уравнения движения имеют вид

$$\Delta v_n = -\gamma_n m(t) \frac{\partial}{\partial x} \delta(x - c(t)) \frac{\partial}{\partial y} \delta(y - h)$$

с граничными условиями

$$v_1 = 0 \text{ при } y = H_1,$$
$$v_1 = v_2, \left[ \rho_n \left( \frac{\partial^3 v_n}{\partial t^2 \partial y} - g \frac{\partial^2 v_n}{\partial x^2} \right) \right]_2^1 = 0 \text{ при } y = 0,$$
$$v_2 = 0 \text{ при } y = -H_2, \quad v_n \rightarrow 0 \text{ при } |x| \rightarrow \infty$$

и начальными условиями

$$v_n = \partial v_n / \partial t = 0 \text{ при } t = 0.$$

Здесь  $v_n$  — вертикальная компонента скорости;  $g$  — ускорение силы тяжести;  $n = 1, 2$  (индекс 1 относится к верхнему слою, индекс 2 — к ниж-